

ارائه‌ی مدل اندرکنش خاک و نگهدارنده‌ی اصلاح شده برای تحلیل لرزه‌یی میل مهارهای انبارهای هسته‌یی

محمدرضا عدلپور (استادیار)

دانشکده‌ی فنی و هندسی، دانشگاه قم

حیدرضا وثوقی فر (استادیار)

دانشکده هندسی عمران، دانشگاه آزاد اسلامی، واحد تهران جنوب

در این نوشتار، براساس مدل اندرکنش خاک و نگهدارنده‌ی اصلاح شده، تحلیل لرزه‌یی میل مهارهای انبارهای هسته‌یی ارائه شده است. برای طراحی سیستم‌های میل مهار باید پیش‌بینی اندازه، جهت و نوع تشنج‌های ناشی از تشنج‌های دست‌نخورد و اثر آن‌ها در توده‌ی سنگ اطراف محل حفاری را برآورد کرد. از دیگر عوامل مؤثر بر طرح سیستمی مسلح‌ساز روی توده‌ی سنگ، مدت عمر پیش‌بینی شده برای آن است. برای ارزیابی ارتباط میل مهارگذاری، لازم است اندرکنش توده‌ی سنگ - میل مهار در نظر گرفته شود. قبل از در نظر گرفتن یک سیستم نگهدارنده‌ی زمین، مشخصات بار - تعییرشکل توده‌ی سنگ باید تعیین شود. در سازه‌های پیچیده از جمله انبارهای هسته‌یی که تحت تشنج بالا هستند، سختی و زمان نسبت سیستم مسلح‌کننده اهیت ویژه‌ی دارد. در این حالت نوع و ساختی پوشش باید با عکس العمل توده‌ی سنگ در هنگام باربرداری (منحنی اندرکنش زمین) سازگار شود. اگر میل مهار یا کابل‌های مهاری قبل از تعییرشکل خمیری توده‌ی سنگ نصب شوند، میل مهارها نمی‌توانند با تعییرشکل‌های به وجود آمده سازگار شوند. هر چند اگر میل مهارها پس از وقوع تعییرشکل‌های خمیری نصب شوند و میل مهارها نیز به اندازه‌ی کافی سخت نباشند، احتمال تعییرشکل‌های خمیری سنگ ادامه می‌یابند و در صورتی که این تشنج‌ها خلیلی زیاد باشند، در میل مهارها تأثیر می‌گذارند. مشکلات اشاره شده با اصلاح مدل اندرکنش توده‌ی سنگ و نگهدارنده مرتყع می‌شوند. در این پژوهش، اصلاح ذکر شده در زمان اجرای نگهدارنده‌ی عمل شده است.

adlparvar@iust.ac.ir
HR.vosoughifar@Azad.Ac.ir

واژگان کلیدی: نگهدارنده، انبارهای هسته‌یی، منحنی اندرکنش، جابه‌جاوی.

مقدمه

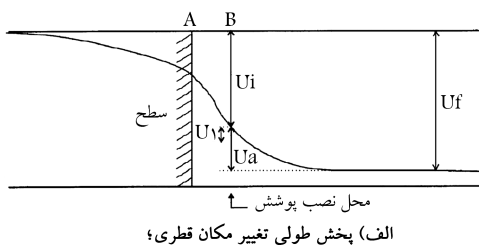
نبیشتر کاربرد دارد، استفاده از روش استاتیکی معادل برای برآورد نیروهای زلزله رایج است. در قسمتی از این روش نیز از برخی روش‌های المان محدود استفاده می‌شود. پژوهش‌هایی نیز درباره‌ی: سایت انبارهای هسته‌یی و تأثیر بارهای لرزه‌یی بر روزی آن،^[۱] ملاحظات زوتکنیکی در انبارهای پس‌ماندهای هسته‌یی درجه‌ی بالا،^[۲] مسائل زوتکنیکی در حفاری‌ها برای انبارهای هسته‌یی،^[۳] تعییرات بر روی ساختار سنگ به علت اجرای انبارهای هسته‌یی نزدیک سطح زمین،^[۴] راهنمایی‌های لازم برای طراحی انبارهای هسته‌یی،^[۵] مسائل زیست محیطی و قواعد استقرار یک انباری پس‌ماند هسته‌یی و بررسی عوامل محیط‌زیستی در اثر وقوع زلزله و شدت مواد رادیواکتیو در کوه یا کا^۱ ایلات متعدد،^[۶] بررسی زباله‌های هسته‌یی برای ساخت انباری زباله‌های با ترازو بالا در کوه یا کا،^[۷] طراحی انبارهای هسته‌یی در خاک‌های توفت و اثر بارهای لرزه‌یی و نیز ارائه‌ی راهکار برای طراحی سازه‌های زیرزمینی از

تاریخ: دریافت ۱۵/۱۰/۱۳۸۶، داوری ۲۰/۱۳۸۷، پذیرش ۳/۷/۱۳۸۷.

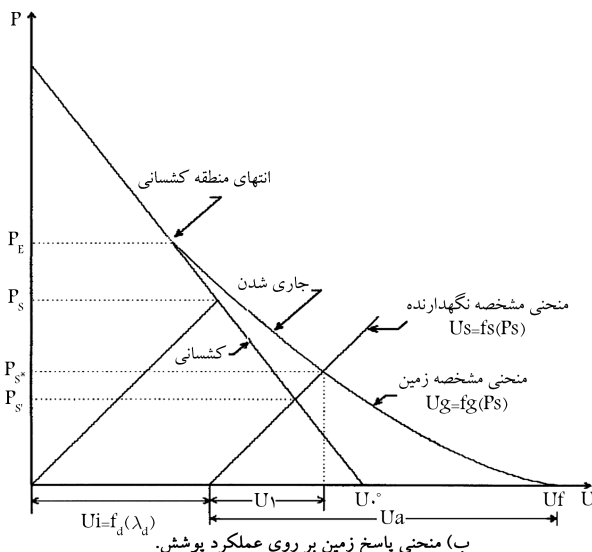
با تغییرشکل‌های به وجود آمده سازگار شوند. هرچند اگر میل مهارها بس از وقوع تغییرشکل‌های خمیری نصب شوند و میل مهارها نیز به اندازه‌ی کافی سخت نباشند، تغییرشکل‌های خمیری سنگ ممکن است ادامه یابند و در صورتی که این تنفس‌ها خیلی زیاد باشند در میل مهارها تأثیر می‌گذارند. از این رو تنفس‌ها و تغییرمکان‌ها در سنگ اطراف انبارهای هسته‌ی ب فقط به خواص توده‌ی سنگ و تنفس‌های در محل، بلکه به نوع و سختی نگهدارنده و زمان اجرای آن بستگی دارند. آثار متقابل این پارامترهای مختلف با منحنی‌های مشخصه‌ی زمین و عکس العمل حائل در منحنی‌های اندرکنش تماش داده می‌شود. هنگامی‌که سنگ موجود در محل تولن حفاری می‌شود، تغییرمکان‌ها در سنگ اطراف تولن حداثت می‌شود و این عمل باعث توزیع تنفس می‌شود.^[۲۰] در سال ۱۹۸۰، در مورد تأثیر اجرای پوشش و تأثیر آن در منحنی‌های اندرکنش تحقیقاتی انجام شده و مدل حل بسته مبنای عمل قرار گرفته است. در این تحقیق با معروفی ضریب تأثیر اجرای پوشش λ_d و ضریب جاری شدن λ_u محاسبات انجام شده است. ضریب تأثیر نگهدارنده مطابق رابطه‌ی ۱ محاسبه می‌شود.^[۱۴]

$$\frac{P'_S}{P_S} = \frac{U_o^e - U_i}{U_o^e} = \lambda_d \quad (1)$$

همان‌طورکه شکل ۱ نشان می‌دهد، P'_S بیانگر میران کاهش نیروی نگهدارنده بواسطه‌ی تأثیر در اجرای نگهدارنده، U_i میران تغییرمکان زمین قبل از نصب نگهدارنده و U_o^e یعنی نیروی تغییرمکان زمین در صورت نصب نگهدارنده و U_o^e تغییرمکان نهایی کشسانی برای یک انبار هسته‌ی ب بدون پوشش است. اگر پوشش در نقطه‌ی B از دیدگاه زمانی نصب شود، پوشش فقط به اندازه‌ی U_a مقاومت



الف) پخش طولی تغییر مکان قطری؛



ب) منحنی پاسخ زمین بر روی عملکرد پوشش.

شکل ۱. منحنی پاسخ زمین و اندرکنش آن با نگهدارنده.

جمله انبارهای پس‌ماند هسته‌ی بی،^[۸] روش تحلیلی برای طراحی سازه‌ی انبارهای هسته‌ی بی عمیق تحت تنفس‌های برشی مرکز دور،^[۹] انجام شده است.

بار نگهدارنده‌ی انبارهای هسته‌ی بی

در اکثر موارد باری که میل مهار تحمل می‌کند در مقایسه با باری که سنگ متتحمل می‌شود ناچیز است. میل مهارها، توده‌ی سنگ را قادر می‌سازند که خود استانی داشته باشند. برای ارزیابی ارتباط میل مهارگذاری، لازم است اندرکنش توده‌ی سنگ میل مهار در نظر گرفته شود. قبل از درنظر گرفتن یک سیستم نگهدارنده‌ی زمین، مشخصات بار-تغییرشکل توده‌ی سنگ باید تعیین شود. نیروی موجود در پوشش سازه‌های زیرزمینی می‌تواند بر اساس روش‌های بسیاری محاسبه شود. این روش‌ها به ۴ بخش تجزیی، نیمه‌تجزیی با روش حلقه-صفحه، نیمه‌تجزیی با روش حلقه-فقر و روش عددی تقسیم می‌شوند. در سال ۱۹۸۴ پژوهشی درباره‌ی روش‌های طراحی پوش تولن‌ها ارائه شده و در آن نحوه‌ی درنظر گرفتن بارهای لرزه‌ی بهمنزله‌ی طراحی استانیکی معادل مدنظر قرار گرفته است.^[۱۰] همچنین در پژوهش‌های دیگری طراحی تولن‌های واقع در خاک‌های سیستم نزدیک زمین به همراه نحوه‌ی طراحی پوشش آن‌ها،^[۱۱] روش طراحی و پایداری لرزه‌ی تولن‌ها با توجه به عملکرد پوشش‌ها،^[۱۲] روش میتینی بر انجام مطالعه‌های موردی متعدد برای محاسبه‌ی بار موجود در پوشش‌ها بر اساس مطالعه‌های آزمایشگاهی،^[۱۳] ساده‌سازی طراحی پوشش تولن‌ها در غالب طراحی از طریق جداول،^[۱۴] ارائه شده است. همچنین پژوهشگران مختلف نحوه‌ی عملکرد پوشش‌ها را هنگام بروز زلزله حائز اهمیت ارزیابی کرده‌اند. برای کامل شدن روش‌های حل لازم است مبنای این روش‌ها از طریق روش‌های تحلیلی گسترش یابد. و نیز در مورد تأثیر بارهای لرزه‌ی در سازه‌های زیرزمینی از طریق روش‌های تحلیلی،^[۱۵] وجود شیار در پوشش تولن‌ها،^[۱۶] و طراحی لرزه‌ی سازه‌های زیرزمینی دارای پوشش،^[۱۷] تحلیل‌های ارائه شده است. در سال ۲۰۰۱ نیز تفرق سه‌بعدی بر روی یک حفره‌ی استوانه‌ی و تأثیر آن در نگهدارنده‌های سازه‌های زیرزمینی بررسی شد و این نتیجه به دست آمد که اثر تفرق در تولن باعث افزایش منطقه‌ی خمیری می‌شود. لذا برای تلفیق عملی روش‌های تحلیلی با روش‌های عددی، روش حل بسته ارائه شد.^[۱۸]

شاران از این روش برای بررسی نحوه‌ی تمرکز تنفس در اطراف تولن دایره‌ی بی استفاده کرد. در این روش از ناحیه‌ی کشسان خمیری صرف نظر و محاسبات با این فرض و برای مدل رفتار در برگیرنده‌ی ناحیه‌ی کشسانی و خمیری با مدل انتخابی مدل هوک برآون انجام شده است. این روش نیز اخیراً برای تحلیل اثر توده‌ی سنگ و نقش پوشش در اطراف سازه‌ی زیرزمینی مدنظر قرار گرفته است.^[۱۹] همچنین مطالعاتی بر روی ناحیه‌ی خمیری ترک خورده در خاک‌برداری‌های دایروی تخلیلی بر اساس مصالح با خواص تنفس نرم‌شونده و تأثیر نگهدارنده‌ها در آن انجام شده است.^[۲۰]

روش تخمین زمان اجرای نگهدارنده

در سازه‌های سنگی پیچیده و تحت تنفس بالا، سختی و زمان نصب سیستم مسلح کننده اهمیت بیشتری دارد. در این حالت نوع و سختی پوشش باید با عکس العمل توده‌ی سنگ در هنگام باربرداری (منحنی اندرکنش زمین) سازگار شود. پژوهشگران در بررسی‌هایی به این نتیجه دست یافتند که اگر میل مهار یا کابل‌های مهاری قبل از تغییرشکل خمیری توده‌ی سنگ نصب شوند، میل مهارهای انتخابی نمی‌توانند

مناسب برای توده‌ی سنگ، به صورت یک مستطیله مبهم باقی مانده است. هوک و براون روی این مستطیله کارکرده‌اند و معیار مقاومت بیشینه برای توده‌ی سنگ را به صورت رابطه‌ی ۴ ارائه کرده‌اند:^[۲۴]

$$\sigma_1 = \sigma_2 + (m\sigma_c\sigma_2 + s\sigma_c^2)^{1/5} \quad (4)$$

که در آن، σ_1 بیشینه‌ی تنش اصلی در گسیختگی؛ σ_2 کمینه‌ی تنش اصلی در گسیختگی؛ m مقاومت فشاری تک محوری سنگ دست نخورد هستند. s و m ثابت‌هایی هستند که به طبقه‌بندی سنگ و شرایط شکستگی قبیل از قرارگرفتن در معرض تنش‌های σ_1 و σ_2 بستگی دارند. این پارامترها با توجه به نوع توده‌ی سنگ طبق اندازه‌گیری‌های بارتون، لین اندازه‌گیری می‌شوند و با تغییر فاکتورهای Q یا RMR تغییر می‌کنند. رابطه‌ی ۴ برای تعیین مقاومت اولیه توده‌ی سنگ استفاده می‌شود. در سنگ شکسته یا در محدوده‌ی خمیری پارامترهای s و m به مقادیر s_d و m_d کاهش می‌یابند. در این حالت مقاومت ماندگار توده‌ی سنگ شکسته به صورت رابطه‌ی ۵ محاسبه می‌شود که برای حل آن باید از یک روند پله‌بی استفاده شود:

$$\sigma_1 = \sigma_2 + (m_d\sigma_c\sigma_2 + s_d\sigma_c^2)^{1/5} \quad (5)$$

در هر دو حالت فرض می‌شود که سنگ دارای رفتار کشسانی خطی با مدول کشسانی E و ضریب پواسون v است تا به مقاومت اولیه مقدار σ_2 برسد.

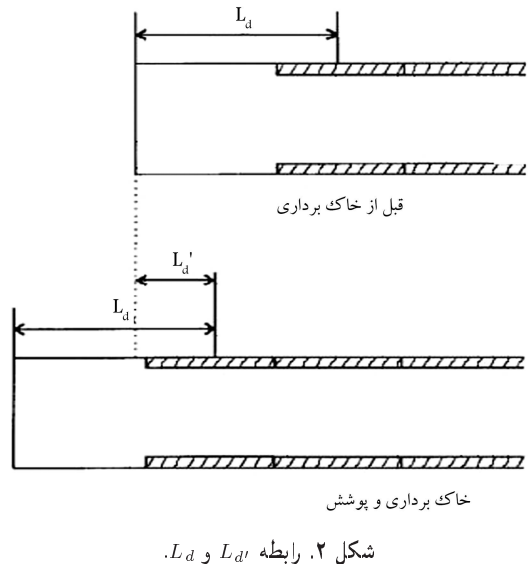
روش حل بسته

در برخی پژوهش‌ها از روش حل بسته برای بررسی و شرایط هندسه‌ی ساده‌ی انبارهای هسته‌بی و فشارهای هیدرولوستیکی استفاده شده است. در تمامی روش‌های ارائه شده لازم است فرضیات مهمی در مورد رفتار تنش کرنش و معیار مقاومت و شکست برای توده‌ی سنگ ارائه کرد. اغلب مدل‌های رفتار استفاده شده در گذشته ساده است و جواب‌های درستی را ارائه نمی‌کنند. امروزه با گسترش علم مهندسی در شناخت رفتار توده‌ی سنگ و پیشرفت روش‌های محاسبه در مهندسی زوتکنیک، این امکان وجود دارد که در حل پیچیدگی‌های بیشتری در مدل‌های واقعی تراز رفتار توده‌ی سنگ در نظر گرفته شود. برای محاسبه کرنش در جدار این انبارها به عمل آنکه مقدار کرنش سیار کوچک در نظر گرفته می‌شوند، بنا بر این هیچ‌گونه تقاضای بین مقادیر شعاع اولیه و شعاع محاسباتی در هر مرحله وجود ندارد. شکل ۳ نمودار گردشی حل بسته اصلاح شده برای ارزیابی نمودار اندرکرشن زمین و نگهدارنده را نشان می‌دهد. نحوه‌ی لحاظ تأخیر در اجرای نگهدارنده در این شکل نشان داده شده است. با اصلاح روش حل بسته و وارد کردن نحوه‌ی زمان بندی اجرای نگهدارنده، این روش به منزه‌ی روشی قدرتمند در بررسی عملکرد قوام اینبارهای هسته‌بی و نگهدارنده مطرح می‌شود.^[۲۵]

مطالعه‌ی موردي

مطالعه‌ی موردي برای ارزیابی نحوه‌ی عملکرد پوشش‌های انبارهای هسته‌بی به روش حل بسته و نیز تأثیر تأخیر در اجرای پوشش‌ها در نظر گرفته شده است. مشخصات محیط مورد مطالعه در جدول ۱ نشان داده شده است.

با توجه به مراحل حل روش بسته و نیز روش ارائه شده برای در نظر گرفتن زمان تأخیر اجرای پوشش که مراحل آن در شکل ۳ نشان داده شده است، محاسبات در محیط



شکل ۲. رابطه L_d و L_d' .

می‌کند. طول تأخیر پوشش L_d به صورت فاصله‌ی بین سطح آنل و سطح پوشش است. شکل ۱ اندازه‌ی مذکور (شکل ۱الف) پخش طولی تغییر مکان قطری که در سطح انبارهای هسته‌بی در نقطه‌ی A مسلح شده است (شکل ۱ب) نیز منحنی پاسخ زمین بر روی عملکرد پوشش را نشان می‌دهد. در پژوهشی دیگر نیز رابطه‌ی مابین λ_d و طول تأخیر نرمال محاسبه شده از طریق انجام تحلیل المان محدود مطابق رابطه‌ی ۲ ارائه شده است.^[۲۶]

$$\lambda_d = \left(\frac{L_d}{R} \right)^{0.98 - 0.98} \quad (2)$$

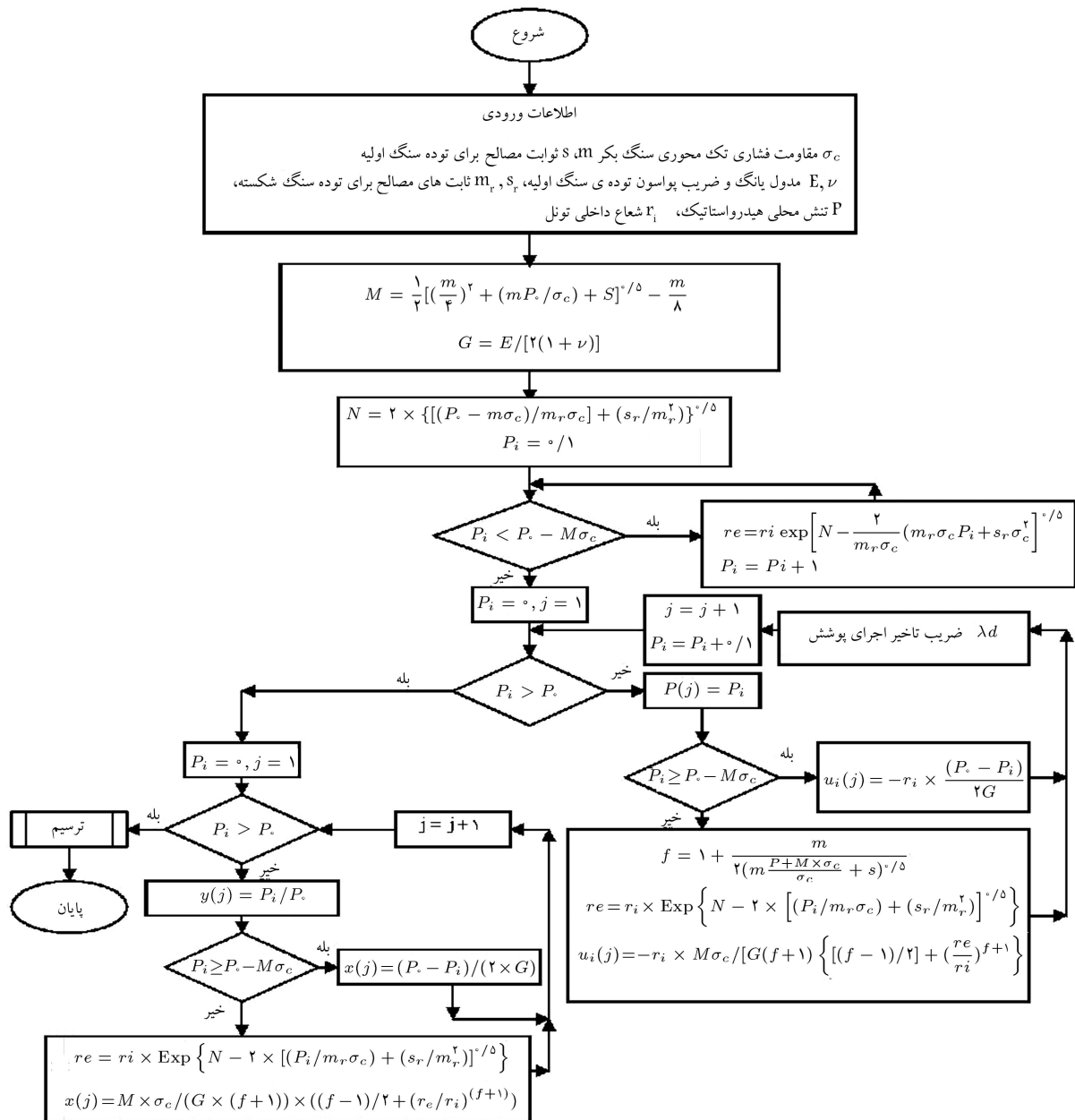
در رابطه‌ی ۲، R شعاع انبار هسته‌بی است. رابطه‌ی ۲ برای حالتی که نسبت R/L_d کوچک‌تر از $1/5$ و بزرگ‌تر از $1/5$ باشد، صادق نیست. در سال ۱۹۸۲ با تعریف ضریب L_d' که بیانگر فاصله‌ی سطح قبلی قبل از خاک‌برداری و مرکز مخفی قطعات پوشش است با انجام محاسبات متعدد المان محدود، رابطه‌ی ۳ ارائه شد. رابطه‌ی مابین L_d' و L_d در شکل ۲ نشان داده شده است.^[۲۷]

$$\lambda_d = \left(\frac{L_d'}{R} \right)^{0.70 - 0.56} \quad (3)$$

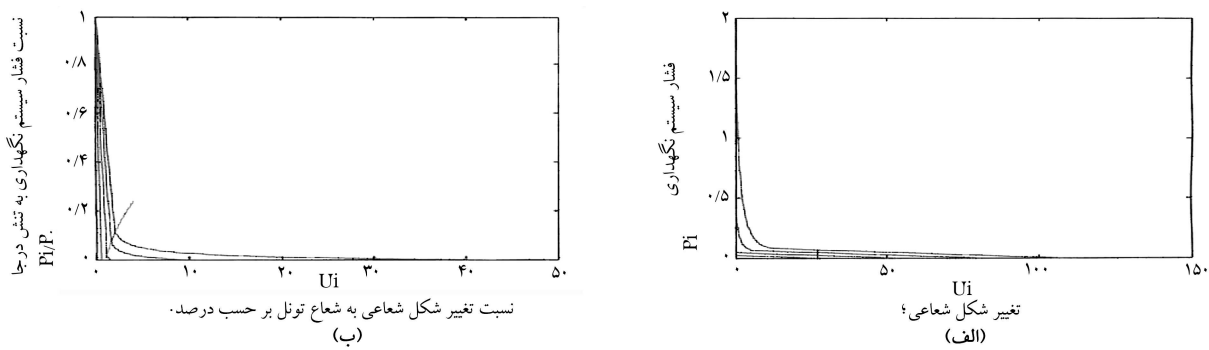
در سال ۲۰۰۶ نیز روشی برای تخمین بار سازه‌های زیرزمینی براساس ضرایب اصلاح ارائه شده است. در این پژوهش با بررسی روش‌های ارائه شده برای در نظر گرفتن تأخیر ایجاد شده در اجرای پوشش، نشان داده شد که روش‌های پیشنهادی برای سازه‌های زیرزمینی با طول تأخیر کم صادق است و L_d'/R کمتر از ۱ است. به هر حال این روش برای سازه‌های زیرزمینی با طول تأخیر زیاد صادق نیست. برای حالتی که برای احداث این سازه‌ها از Dستگاه TBM استفاده شود، به عمل وجود حفره مابین این Dستگاه و توده‌ی خاک محاسبه‌ی U_d و λ_d بسیار مشکل است.^[۲۸]

مدل رفتار توده‌ی سنگ

در اغلب روش‌های ارائه شده، معیار مقاومت، معیار خطی موهر کلمب است، در صورتی که اطلاعات آزمایشگاهی نشان می‌دهند که معیار مقاومت برای توده‌ی سنگ غیرخطی است. در سال ۲۰۰۴، روش کشسان خمیری برای عمومی کردن معیار شکست هوک - براون ارائه شده است.^[۲۹] به هر حال بهره‌گیری از یک معیار مقاومت



شکل ۳. روش حل بسته‌ی اصلاح شده برای ترسیم نمودار اندرکنش خاک -نگهدارنده.



شکل ۴. منحنی پاسخ زمین با درنظرگرفتن اثر تأخیر در اجرای نگهدارنده.

- اگر میل مهار یا کابل های مهاری قبیل از تغییر شکل خمیری توده هی سنگ نصب شوند، میل مهار های انتخابی نمی توانند با تغییر شکل های خمیری به وجود آمده سازگار شوند؛
- اگر میل مهارها پس از وقوع تغییر شکل های خمیری نصب شوند و میل مهارها نیز به اندازه هی کافی سخت نباشند، تغییر شکل های خمیری سنگ ممکن است ادامه یابند و در صورتی که این تنش ها خیلی زیاد باشند بر میل مهارها تأثیر می گذارند؛
- در روش حل بسته تأخیر اجرای نگهدارنده منظور نشده است و این امر دقت را کاهش می دهد. در این نوشتار در الگوریتم روش حل بسته، تأخیر اجرای نگهدارنده در نظر گرفته شده است؛
- با اجرای زمان بندی مناسب نگهدارنده ها می توان تنش ها را تا حدود قابل توجهی کاهش داد. با ارائه الگوی مناسب زمانی، می توان رابطه هی منطقی مابین تغییر شکل و نیرو در نگهدارنده ها ارائه کرد؛
- روش پیشنهادی برای اصلاح روش حل بسته در سازه های زیرزمینی هنگامی صادق است که رابطه $1 < \left(\frac{L_d}{d} / R \right)$ و طول تأخیر کم برقرار باشد. به هر حال این روش برای سازه های زیرزمینی با طول تأخیر زیاد صادق نیست.

جدول ۱. مشخصات ناحیه هی مورد مطالعه.

r_i (m)	E (MPa)	ν	s_r	m_r	s	m	σ_c (MPa)
۴	۴۰۰۰۰	۰/۲	۰/۰۰۱	۰/۳	۰/۱	۷/۵	۳۰۰

برنامه Matlab اجرا شده است. شکل ۴ منحنی پاسخ زمین محاسبه شده برای انبار هسته ای با مشخصات ذکرشده برای مقادیر $P = ۸۱, ۵۴, ۲۷, ۱۰۸$ مگا پاسکال از P نشان می دهد. شکل ۴ لف تغییر شکل شعاعی این انبار را بر حسب درصد بیان می کند. شکل ۴ ب تغییر شکل را بر مبنای فشار سیستم نگهدارنده به فشار درجا نشان می دهد.

نتیجه گیری

- برای انجام تحلیل مناسب نگهدارنده های انبار های هسته ای باید به اندرکش خاک و نگهدارنده و زمان اجرای نگهدارنده دقت لازم مبذول شود؛

پابلوشت

1. Yucca

منابع

- Solomon, Barry D. and Cameron, Diane M. "Nuclear waste repository siting: An alternative approach", *Energy Policy*, **13**, Issue 6, pp. 564-580 (December 1985).
- Kendorski, F.S. "Geologic high level nuclear waste repository considered as an underground facility design problem", *International Journal of Rock Mechanics and Mining Science & Geomechanics*, **23**, Issue 3, p. 123 (1986).
- Bohlke, B.M. and Monsees, J. "Geomechanics underground excavation radioactive waste disposal", *International Journal of Rock Mechanics and Mining Science & Geomechanics*, **25**, Issue 6, p. 318 (December 1988).
- Andersson, J.; Robinson, P. and Impey, M. "Implications of rock structure on the performance in the near field of a nuclear waste repository", *Engineering Geology*, **49**, Issues 3-4, 2, pp.195-200, Computational methods in engineering geology (1998).
- Schmidt, B. "Learning from nuclear waste repository-design: the ground control plan", *International Journal of Rock Mechanics and Mining Science & Geomechanics*, **26**, Issues 3-4, pp. A163-A164 (July 1989).
- Malone, Charles R. "Environmental review and regulation for siting a nuclear waste repository at Yucca mountain", Nevada, *Environmental Impact Assessment Review*, **9**, Issue 2, pp. 77-95 (1989).
- Mon, K.G.; Bullard, B.E.; Mehta, S. and Lee, J.H. "Waste package performance evaluations for the proposed high-level nuclear waste repository at Yucca Mountain", Framatome ANP, *Waste Package Degradation*, Las Vegas, NV 89144, USA (1990).
- Hardy, M.P.; Brechtel, C.E.; Goodrich, R.R.; Bauer, S.J. and Rock Mechanics "Preliminary drift design analyses for nuclear waste repository in tuff", *International Journal of Rock Mechanics and Mining Science & Geomechanics*, **28**, Issue 4, P. A261 (1991).
- Huo, H.; Bobet, A.; Fernández, G. and Ramírez, J. "Analytical solution for deep rectangular structures subjected to far-field shear stresses", *Tunneling and Underground Space Technology*, **21**, pp. 613-625 (2006).
- O'Rourke, T.D. "Guidelines for tunnel lining design", *American Society of Civil Engineers*, p. 82 (1984).
- Negro Jr.A. "Design of shallow tunnels in soft ground", Ph.D. thesis, *Department of Civil Engineering, University of Alberta*, Edmonton, Canada, p. 1480 (1988).
- Whittaker, B.N. and Frith, R.C. "Tunnelling design, stability and construction", *The Institution of Mining and Metallurgy*, London, p. 460 (1990).
- Kim, H.J. and Eisenstein, Z. "Prediction of lining loads from case histories", *World Tunnel Congress'98*, São Paulo, Brazil, pp. 299-304 (1998).
- Einstein, H.H. and Schwartz, C. "Discussion on simplified analysis for tunnel supports", *Journal of the Geotechnical Engineering Division*, ASCE GT7, pp. 835-838 (1980).
- Penzien, J. and Wu, C.L. "Stresses in linings of bored tunnels", *Earthquake Engineering and Structure Dynamics*, **27**, pp. 283-300 (1998).

16. Penzien, J. "Seismically induced raking of tunnel linings", *Earthquake Engineering and Structure Dynamics*, **29**, pp. 683–691 (2000).
17. Hashash, Y.M.A.; Hook, J.J.; Schmidt, B. and Yao, J.I., "Seismic design and analysis of underground structures", *Tunneling and Underground Space Technology*, **16**, pp. 247–293 (2001).
18. Antonio, J. and Antonio, T. "3D scattering by multiple cylindrical cavities buried in an elastic formation", *Eur. J. Mech. A/Solids*, **20**, pp. 367–383 (2001).
19. Sharan, S.K. "Elastic-brittle-plastic analysis of circular openings in Hoek-Brown media", *Int J Rock Mech Min Sci*, **40**, pp. 817–824 (2003).
20. Varas, F.; Alonso, E.; Alejano, L.R. and Fdez.-Mamí'n, G. "Study of bifurcation in the problem of unloading a circular excavation in a strain-softening material", *Tunnelling and Underground Space Technology*, **20**, pp. 311–322 (2005).
21. Fakhimi, A.; Salehi, D. and Mojtabai, N. "Numerical back analysis for estimation of soil parameters in the re-salat tunnel project", *Tunnelling and Underground Space Technology*, **19**, pp.57–67 (2004).
22. Hutchinson, D.E. "Effects of construction procedure on shaft and tunnel performance", MSc. thesis, *Department of Civil Engineering, University of Alberta*, Edmonton, Canada, p. 267 (1982).
23. Kim, H.J. and Eisenstein, Z. "Prediction of tunnel lining loads using correction factors", *Engineering Geology*, **85**, PP. 302–312 (2006).
24. Carranza-Torres, C. "Elasto-plastic solution of tunnel problems using the generalized form of the Hoek-Brown failure criterion", In: Hudson JA, Xia-Ting F, editors. *Proceeding of the ISRM SINOROCK 2004 symposium, China, Int. J Rock Mech Min Sci*, **41**(3), pp. 480–481 (2004).
25. Exadaktylos, G.E. and Stavropoulou, M.C. "A closed-form elastic solution for stresses and displacements around tunnels", *International Journal of Rock Mechanics & Mining Sciences*, **39**, PP. 905–916 (2002).